УДК 629.78.01

## ИНТЕГРИРОВАННАЯ МОДЕЛЬ КАНАЛОВ ЭЛЕКТРОПИТАНИЯ СТАЦИОНАРНОГО ПЛАЗМЕННОГО ДВИГАТЕЛЯ

М.В. Михайлов, Ю.М. Казанцев

ФГУП «Научно-производственный центр «Полюс», г. Томск E-mail: polus@online.tomsk.net

Исследуется интегрированная модель каналов электропитания стационарного плазменного двигателя, включающая модели солнечной батареи, канала разряда анод — катод и системы электропитания. Показан алгоритм функционирования модели и диаграммы тока и напряжения разряда для различных режимов работы двигателя. С помощью полученных диаграмм определено наибольшее перерегулирование в системе с четырьмя замкнутыми обратными связями и на основании «гипотезы фильтра» сделан вывод об ее устойчивости. Предложенная модель позволяет имитировать все режимы работы системы электропитания, а также моделировать различные варианты запуска двигателя и работу различных типов термодросселей.

В последние годы компьютерное моделирование различных устройств привлекает значительное внимание, поскольку позволяет сократить время и существенно снизить затраты на разработку приборов. Это особенно важно для систем, комплексное исследование которых затруднительно, или требует больших материальных издержек. К такого рода системам относится устройство запуска и электропитания стационарного плазменного двигателя (СПД), первичным источником которого является солнечная батарея (СБ), а нагрузкой — СПД, способный работать только в условиях глубокого вакуума.

Цель моделирования — получить точное представление о процессах, происходящих в схеме устройства запуска и электропитания СПД во всех режимах его работы, определить принципиальные особенности управления и провести анализ устойчивости схемы. Следовательно, интегрированная модель каналов электропитания СПД должна включать модели СБ, СПД, устройства запуска и электропитания СПД.

Вольтамперная характеристика (ВАХ) СБ описывается выражением [1]

$$I_{c\delta} = I_{\kappa,3} \left( 1 - \exp \left( \frac{U_{c\delta}}{U_{x,x}} - 1 \right) \times \left( \frac{U_{off}}{U_{x,x}} - 1 \right) \times \left( \frac{1 - I_{off}}{I_{\kappa,3}} \right) / \left( \frac{U_{off}}{U_{x,x}} - 1 \right) \right) \right), \quad (1)$$

где  $I_{\rm K,3}$  — ток короткого замыкания СБ (при  $U_{\rm c6}$ =0);  $U_{\rm c6}$  — мгновенное значение выходного напряжения;  $U_{\rm K,X}$  — максимальное выходное напряжение (при  $I_{\rm c6}$ =0);  $I_{\rm off}$  и  $U_{\rm off}$  — оптимальные ток и напряжение, соответствующие максимальной мощности.

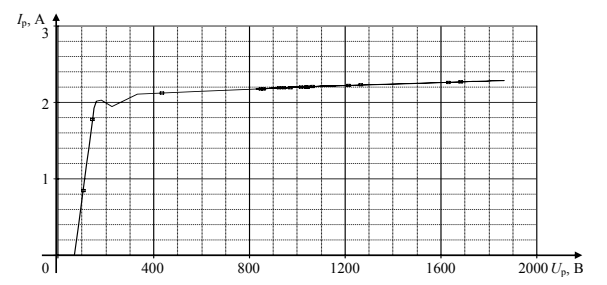
Канал разряда анод — катод СПД имеет сложную нелинейную BAX с участком отрицательного динамического сопротивления, что не позволяет описать ее одним математическим выражением. В общем виде BAX канала разряда СПД можно представить следующим образом [2]:

$$I_{p} = \begin{cases} 0, \text{ при } U_{p} < 70 \text{ B}, \\ \frac{eI_{_{TД}}}{\dot{m}} \sqrt[4]{\left(\frac{U_{p} - U_{_{3}}}{U_{pi} - U_{_{3}}}\right)} \left(1 + V_{ex} \sqrt{\frac{M}{2e(U_{p} - ^{\wedge}U_{_{3}})}}\right), \\ \text{при 70 B} < U_{p} < U_{pi}, \\ \frac{eI_{_{TД}}}{\dot{m}} (1 + 0,00065 \cdot (U_{p} - U_{pi})) \times \\ \times \left(1 + V_{ex} \sqrt{\frac{M}{2e(U_{p} - ^{\wedge}U_{_{3}})}}\right), \\ \text{при } U_{p} > U_{ri}, \end{cases}$$

$$(2)$$

где e — заряд электрона  $(1,6\cdot0^{-19}\,\mathrm{Kn});\ I_{\mathrm{Ta}}$  — ток термодросселя;  $\dot{m}$  — секундный расход рабочего вещества;  $U_{\mathrm{p}}$  — напряжение разряда;  $U_{\mathrm{3}}$  — напряжение, при котором появляется ток разряда;  $U_{\mathrm{pi}}$  — напряжение разряда, соответствующее началу участка отрицательного сопротивления;  $V_{\mathrm{ex}}$  — скорость плазменной струи на выходе сопла двигателя (около  $6000\,\mathrm{m/c}$ );  $^{^{\circ}}U_{\mathrm{3}}$  — переменная составляющая (пульсации) напряжения разряда.

Реализовать выражения (2) в модели аналитическим путем достаточно сложно, поэтому использован способ табличного описания функций, который в системе сквозного проектирования электронных устройств Orcad 9.2 реализован на базе блока G\_table, представляющего собой модель источника тока, управляемого напряжением. Полученная ВАХ показана на рис. 1.



**Рис. 1.** ВАХ канала анод – катод

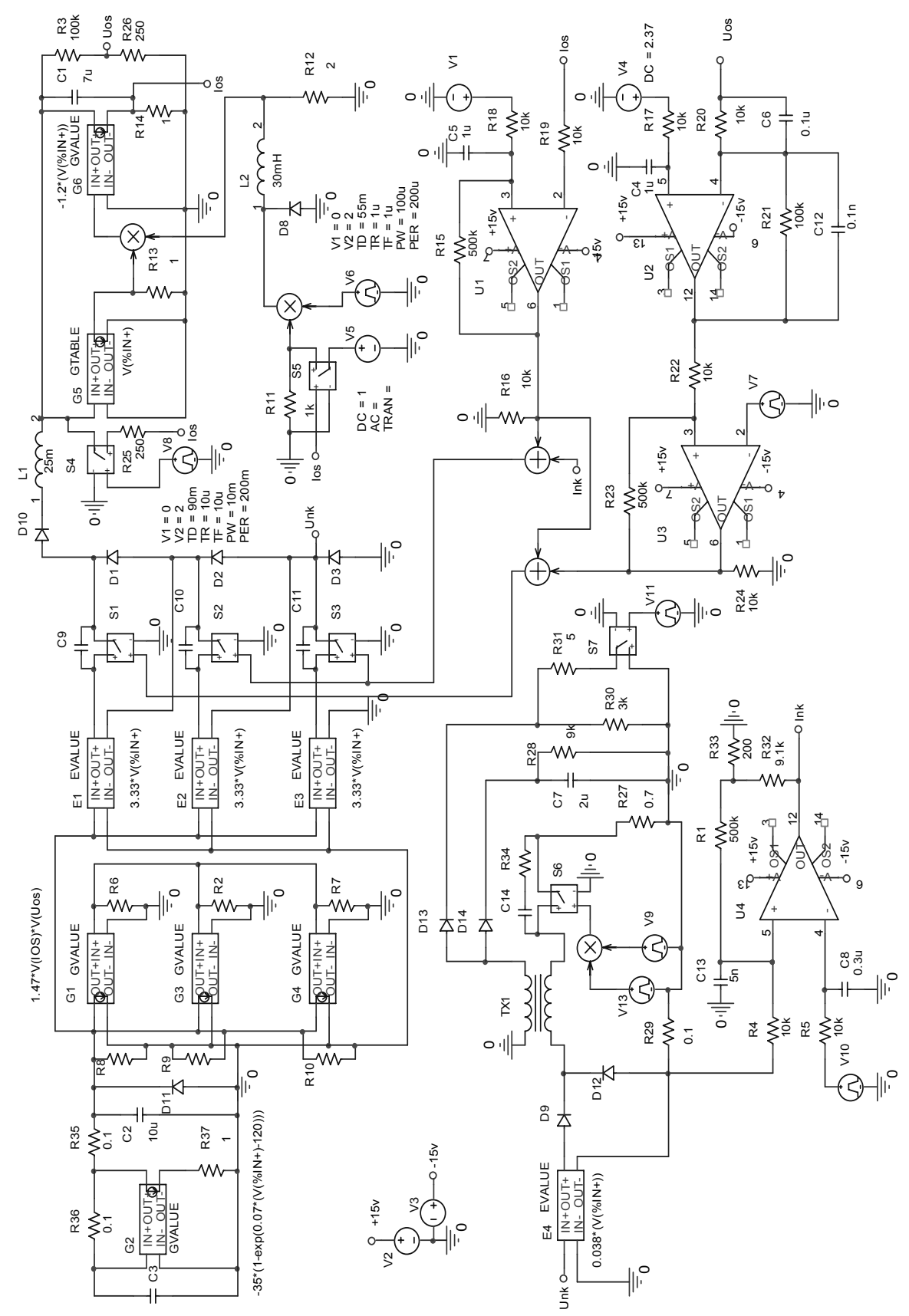


Рис. 2. Интегрированная модель каналов электропитания СПД

Модель устройства запуска и электропитания СПД с одной стороны должна быть связующим звеном между моделями СБ и СПД, а с другой – адекватно отражать реакцию схемы при воздействии на ее входы изменяющихся во времени сигналов. С учетом этого разработана интегрированная модель каналов электропитания анод – катод, нагревателя катода (НК), электрода поджига (ЭП) и термодросселя с замкнутыми обратными связями, рис. 2. Она выполнена на базе совмещенного устройства запуска и электропитания СПД [3]. Это реализовано тремя парами функциональных блоков: G1-E1, G3-E2 и G4-E3. Источники тока, управляемые напряжением G1, G3 и G4, являются нагрузкой для модели CБ (G2), а потому их задача трансформировать ток нагрузки анод – катод в ток нагрузки СБ, отсюда их ВАХ определяется как

$$\begin{split} I_{G1} &= \frac{U_{E1} + U_{E2} + U_{E3}}{3U_{c6.xx}} (I_{G.6} + I_{xx}) \approx \\ &\approx \frac{U_{E1} + U_{E2} + U_{E3}}{3U_{c6.xx}} \cdot \eta \cdot \frac{U_{lOS}}{R_{14}} \cdot \frac{U_{OS} \left(R_3 + R_{26}\right)}{R_{26} \left(U_{E1} + U_{E2} + U_{E3}\right)}, \end{split}$$

где  $I_{xx} = I_{R3} = I_{R26}$ ;  $U_{c6,xx}$  — напряжение СБ на холостом ходу;  $\eta$  — КПД устройства запуска и электропитания (0,85...0,92);  $U_{loS}$  — сигнал датчика тока разряда;  $U_{0S}$  — сигнал датчика напряжения анод — катод.

Зависимые источники E1-E3 выполняют роль трансформаторов постоянного напряжения с таким коэффициентом передачи, чтобы суммарное выходное напряжение было не менее номинального значения  $U_{\text{р,ном}}$ , тогда

$$U_{E1} = \frac{U_{\text{p.Hom}}}{3U_{\text{obs}, yarran}} U_{\text{c6}},$$

где  $U_{\scriptscriptstyle {
m P,HOM}}-$  номинальное напряжение разряда анод — катод;  $U_{\scriptscriptstyle {
m BX,MHH}}-$  минимальное входное напряжение.

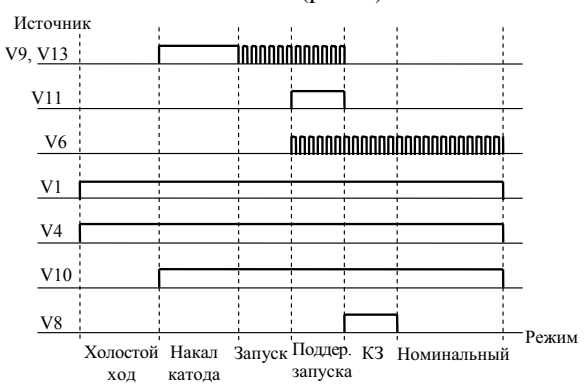
Т.е. напряжение разряда есть сумма

$$U_p = U_{E1}\gamma_{S1} + U_{E2}\gamma_{S2} + U_{E3}\gamma_{S3},$$

где  $\gamma_{S1}, \ \gamma_{S2}, \ \gamma_{S3}$  — регулировочные характеристики ключей S1—S3 (0...1).

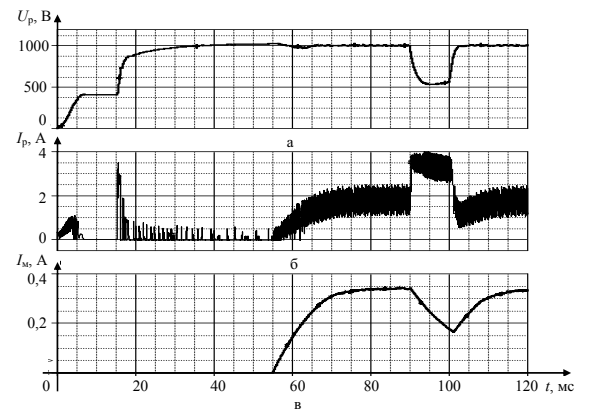
Канал стабилизации напряжения разряда выполнен как односторонний широтно-импульсномодулируемый регулятор (U2, U3) с модуляцией переднего фронта и инерционным звеном (R20, Сб) на основе динамических моделей операционных усилителей. Канал ограничения тока разряда выполнен в виде релейного регулятора на базе динамической модели быстродействующего операционного усилителя LT1037CS (U1). Поскольку изменение сопротивления НК имеет инерционный характер, а канал тока НК представляет собой электрическую цепь первого порядка ( $L_{TXI}$ ,  $R_{27}$ ), его система управления выполнена на базе релейного регулятора (U4). Замкнутая обратная связь (S5) по сопротивлению нагрузки (расходу рабочего вещества) позволяет получить более точное представление о режимах работы элементов схемы по сравнению с лабораторными исследованиями физических макетов на активную нагрузку.

Режимы работы устройства запуска и электропитания обусловлены принципом действия СПД, на основании чего составлен план исследования, который в модели реализован алгоритмом работы независимых источников (рис. 3).



**Рис. 3.** Алгоритм работы модели при исследовании режимов работы СПД

В результате моделирования получены диаграммы токов и напряжений на всех элементах схемы, на основании которых сделан вывод о работоспособности схемы и происходящих процессах. На рис. 4 показаны диаграммы работы каналов электропитания СПД в различных режимах.



**Рис. 4.** Диаграммы работы модели: а) напряжение и б) ток канала анод — катод; в) расход рабочего вещества, пересчитанный в токовые единицы

На основании полученных диаграмм можно провести анализ устойчивости схемы по переходной характеристике. Для этого необходимо определить наибольшее перерегулирование в системе. Наибольшие перерегулирование напряжения разряда анод — катод и колебательный процесс (рис. 4, a) возникают в момент появления тока разряда (рис. 4,  $\delta$ ) при подаче рабочего вещества в разрядную камеру (рис. 4,  $\delta$ ). Величина перерегулирования  $\Delta h$  для этого случая

$$\Delta h = \frac{U_{\text{\tiny MAKC}} - U_{\text{\tiny HOM}}}{U_{\text{\tiny HOM}}} \cdot 100\% = \frac{1035 - 1000}{1000} \cdot 100\% = 3,5\%.$$

В соответствии с "гипотезой фильтра" система считается устойчивой (с запасом по фазе  $\gamma > 30^\circ$ ), если перерегулирование в затухающем переходном процессе  $\Delta h < 30 \%$ .

Разработанная модель позволяет имитировать все режимы работы устройства запуска и электропитания СПД на базе совмещенного преобразователя, а также моделировать различные варианты запуска двигателя и работу различных типов термодросселей. Модель разработана с учетом нелинейности ВАХ источника питания (СБ) и участка отрицатель-

ного динамического сопротивления нагрузки (канал разряда анод — катод СПД). Замкнутая обратная связь по сопротивлению нагрузки (расходу рабочего вещества) позволяет получить более точное представление о режимах работы элементов схемы по сравнению с лабораторными исследованиями физических макетов при работе на активную нагрузку.

## СПИСОК ЛИТЕРАТУРЫ

1. Чернышев А.И., Казанцев Ю.М., Поляков С.А., Лекарев А.Ф. Способ стабилизации выходного напряжения системы электропитания КА // Третий Сибирский Междунар. авиа-космический салон САКС 2004: Сб. докл. Междунар. научно-практ. конф. – Красноярск, 2004. – С. 43–48.

- Морозов А.И. Физические основы космических электрореактивных двигателей. Т. 1. Элементы динамики потоков ЭРД. М.: Атомиздат, 1978. 328 с.
- Пат. 2265135 РФ. МПК<sup>7</sup> F03H 1/00. Устройство запуска и электропитания электрореактивного плазменного двигателя / М.В. Михайлов, Н.М. Катасонов. Заявлено 14.04.2003; Опубл. 27.11.2005, Бюл. № 33.

УДК 629.783:5233+519.7+62-69

## БАЗОВЫЕ ПРИНЦИПЫ ПОСТРОЕНИЯ Е-СЕТЕВОЙ МОДЕЛИ СЛОЖНОЙ ТЕХНИЧЕСКОЙ СИСТЕМЫ

Г.П. Цапко, С.Г. Цапко, Д.В.Тараканов\*

Томский политехнический университет \*Сургутский государственный университет E-mail: serg@aics.ru

Раскрыты методологические основы построения динамических моделей гибридных систем с использованием принципов «блочного» моделирования на базе Е-сетевого формализма. Представленная методика основана на использовании механизмов иерархического взаимодействия элементов динамической моделей. Показаны принципы организации Е-сетевых иерархических схем с использованием жестких и гибких структур. Указан механизм взаимодействия статических и динамических компонентов.

В настоящее время происходит существенное усложнение автоматизированных систем управления различными технологическими процессами. Это предъявляет новые, более жесткие требования к подготовке обслуживающего персонала данных систем. Полноценное использование многофункциональных компьютерных тренажеров (МКТ) возможно только в том случае, если его программное обеспечение способно функционировать в реальном масштабе времени или ускоряя моделируемый процесс.

Для решения данной проблемы необходимо выработать общие подходы в организации Е-сетевой [1] аналитико-имитационной модели (АИМ).

Важным вопросом в построении аналитикоимитационной модели (АИМ) исследуемой системы является выработка общих подходов в организации Е-сетевой модели. Методология построения АИМ сложных систем базируется на объектном подходе к организации исследуемой модели и состоит из следующих основополагающих позиций:

1) любая модель представляет собой совокупность однонаправленных объектов (в дальнейшем используется термин-компонент *Comp*), взаимодействующих между собой, что позволяет реализовывать причинно-следственный подход в построении модели;

- 2) компоненты модели выбираются с учетом минимального числа взаимосвязей между компонентами модели и минимальным уровнем взаимодействия (т.е. интенсивностью обмена данными) между компонентами;
- обмен данными происходит с помощью каналов связи;
- 4) компоненты модели строятся по иерархическому принципу;
- 5) в модели может выполняться несколько независимых друг от друга процессов, т.е. компоненты могут функционировать параллельно и независимо друг от друга;
- 6) с компонентами модели могут ассоциироваться как конкретные технические объекты системы и ее элементы, так и абстрактные математические объекты, например операторы преобразования.

АИМ исследуемой технической системы  $\Sigma_0$  представляется как объединение компонент с определенной взаимосвязью. Количество компонентов модели определяется режимом работы МКТ и степенью детализации системы. Каждая компонента модели технической системы, реализованная на E-сетевом имитационном аппарате, может быть представлена иерархической структурой «вход — состояние — выход». Функционирова-